

# Lokale Modelle

( $G, X$ ) Shimura-Datum

Ziel: mod- $p$ -Reduktion der Shimura-Var.

$Sh_K(G, X)$  verstehen,

oder zumindest die lokale Struktur  
(z.B. Singularitäten)

Grenzwert: Betrachte parahorische Levels  $K_p \subseteq G(\mathbb{Q}_p)$

d.h.:  $G(\mathbb{Q}_p) \curvearrowright \text{BT}(G, \mathbb{Q}_p)$  Bruhat-Tits-Gebäude

Für  $G = \text{GL}(V)$  sind die Punkte von  $\text{BT}^{\text{red}}(G, \mathbb{Q}_p)$   
gegeben durch Güterketten in  $V_{\mathbb{Q}_p}$

Homothetie-stabile tot. geordn. Menge  
von  $\mathbb{Z}_p$ -Gütern vollen Rangs

Eine parahorische  $U_G$  von  $G(\mathbb{Q}_p)$  ist dann  
eine  $U_G$  der Form  $K_p = \text{Stab}_{G(\mathbb{Q}_p)}(x)$ ,  $x \in \text{BT}(G, \mathbb{Q}_p)$   
(mod. ein techn. Detail)

Im Fall von  $G = \text{GL}_2$  zwei Fälle bis auf Konj.:

• hyperspez.: Güterkette  $\{ \mathbb{Z}_p^n (\mathbb{Z}_p \oplus \mathbb{Z}_p) \}_{n \in \mathbb{Z}}$

• „ $\dots$ “

$$\leadsto K_p = GL_2(\mathbb{Z}_p)$$

• Iwahori: Gitterkette

$$\dots \supseteq p^{-1}\mathbb{Z}_p \oplus \mathbb{Z}_p \supseteq \mathbb{Z}_p \oplus \mathbb{Z}_p \supseteq \mathbb{Z}_p \oplus p\mathbb{Z}_p \supseteq \dots$$

$$\leadsto K_p = \begin{pmatrix} \mathbb{Z}_p & \mathbb{Z}_p \\ p\mathbb{Z}_p & \mathbb{Z}_p \end{pmatrix} \backslash GL_2(\mathbb{Z}_p)$$

Wunschsituation:  $\exists$  Diagramm

$$\tilde{\mathcal{S}} = \tilde{\mathcal{S}}_K = \tilde{\mathcal{S}}_K(G, X)$$

$G_{E_v}$ -Torsor  $\pi$

$$\mathcal{S} = \mathcal{S}_K = \mathcal{S}_K(G, X)$$

$\downarrow \tilde{\varphi}$   $G_{E_v}$ -äquivalenz  
 glatt von rel. Dim  $\dim(G)$   
 $M^{\text{loc}} = M^{\text{loc}}_K(G, X)$

von  $\mathcal{O}_{E_v}$ -Schemata, wobei:

- $E$  Reflexkörper
- $v_p$  Primstelle von  $E$
- $\mathcal{S}$  int. Modell von  $\mathcal{S}_K(G, X)$  über  $\mathcal{O}_{E_v}$
- $G/\mathbb{Z}_p$  parahorische Gruppenschema zu  $K_p$   
 (glatt, affin (nicht notw. reduktiv))  
 mit gen. Faser  $G_{\mathcal{O}_p}$  und  $\mathcal{Z}(\mathbb{Z}_p) = K_p$

Bemerkung:  $x \in \mathcal{S}(\mathcal{O}_{E_v}) \xrightarrow{\text{Lang}} H^1(K_{\text{res}}, E \otimes \dots)$

$$\begin{aligned} \Rightarrow \sum_{S_K} \times \text{Spec } k[x] &\Rightarrow \text{Spec } k[x] \text{ hat Schnitt} \\ &\quad \tilde{x} \in \tilde{S}(k[x]) \\ y = \tilde{\varphi}(x) \end{aligned}$$

$\tilde{\varphi}, \pi$  glatt von selber rel. Dim.

$$\begin{aligned} \Rightarrow \text{Ausdehnung } \text{Spec } \mathcal{O}_{S,x}^h &\rightarrow \tilde{S} \text{ von } \tilde{x}, \\ \text{s.d. } \text{Spec } \mathcal{O}_{S,x}^h &\rightarrow \tilde{S} \rightarrow \text{Loc} \\ \text{einen Kern.} \end{aligned}$$

$$\mathcal{O}_{S,x}^h \cong \mathcal{O}_{\text{Loc},x} \quad \text{liefert}$$

Insbesondere:  $\text{Loc}$  regulär flach...  
 $\Rightarrow$  selber für  $\mathcal{O}_{S,x}^h$

Standardbsp.  $(\mathbb{G}_m, \text{wahori})$

$\mathbb{R}$   $\mathbb{Z}_p$ -Algebra

$$M^{\text{loc}}(\mathbb{R}) = \left\{ (M_0, M_1) \in \mathbb{P}^1(\mathbb{R}) \times \mathbb{P}^1(\mathbb{R}) \mid \begin{array}{l} (\mathbb{R}_1 / M_0 \cong \mathbb{R}_1) \\ (\mathbb{R}_p / M_1 \cong \mathbb{R}_0) \end{array} \right\}$$

(ein Blow-up von  $\mathbb{P}^1_{\mathbb{Z}_p}$  bei Pkt in spez. Faser)

$$M^{\text{loc}}(\mathbb{R}) \cong \mathbb{R}_+ \times \mathbb{R}_+ \times \mathbb{R}_+ \times \mathbb{R}_+$$

...  $\pi: \mathbb{A}^1 \rightarrow \mathbb{A}^1$   $(x, y) \mapsto x^2 - y^2$

$$S(R) = \left\{ \begin{array}{c} F_0 \xrightarrow{p: \gamma} F_1 \\ \uparrow \quad \quad \uparrow \\ -0 \quad \quad -1 \end{array} \in K^p\text{-levelstruktur} \right\}$$

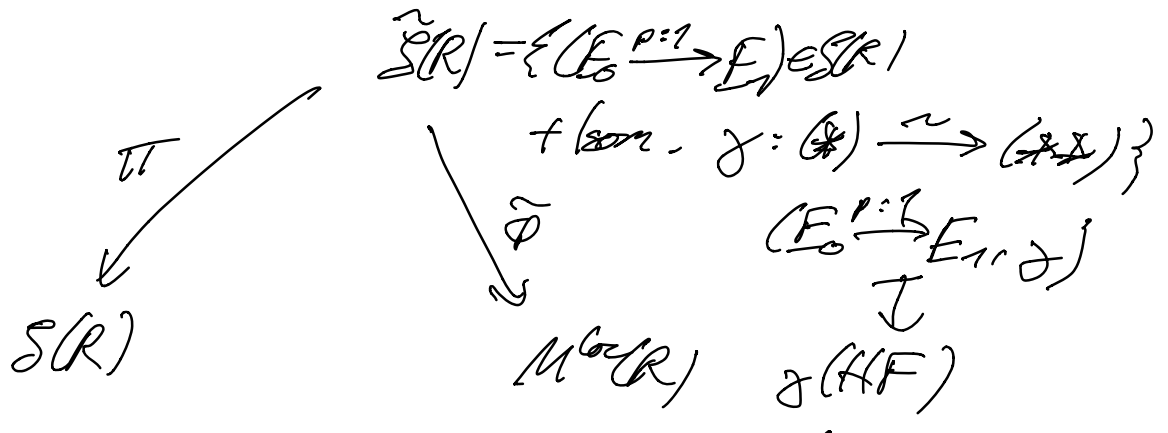
all. Kurven  $\mathbb{R}$  bis auf  $\mathbb{Z}_p$ -Äquivalenz

$$\begin{array}{ccc} H_1^{dR}(F_0(R)) & \longrightarrow & H_1^{dR}(F_1(R)) \\ \parallel & & \parallel \\ H_1^{dR}(E_0(R)) & \longleftarrow & H_1^{dR}(E_1(R)) \end{array} \quad (*)$$

Zariski-lokal isomorph zu

$$\begin{array}{ccc} \mathbb{R}^2 & \xrightarrow{(p_2)} & \mathbb{R}^2 \\ \parallel & & \parallel \\ \mathbb{R}^2 & \xrightarrow{(p_1)} & \mathbb{R}^2 \end{array} \quad (**)$$

Lokales-Mod.-Diagramm



$$\mathbb{H}F: (\text{Lie } E_0)^{\vee} \rightarrow \text{Lie}(E_1)^{\vee}$$

ist lok.-Mod.-Diagramm wegen Grothendieck-Messing

geht ähnlich auch allgemeiner, so lange SV durch ein (hier: schönes) Modulprob. gegeben ist. Probleme:

- nicht allgemein genug!
- Analogon von „ $(*) \cong (**)$  Zariski-lok.“ oft unangenehm zu zeigen
- Das „naive lok. Modell“, das man so erhält, muss oft noch „korrigiert“ werden.

Abhilfe: „Gruppen-theor.“ Lok. Modelle von Pappas-Zhu.

Vorher: Bsp.  $(G|_n, \mu = (\mu^r, \mu^{a+r}), (\text{watori}))$

$\leadsto$  Lok. Mod. hat als  $R$ -Punkte,  $R$   $\mathbb{Z}$ -Alg.:

$(L_0, \dots, L_{n-1})$  Lok. dir. Summanden von Korang  $r$  in  $R^n$

mit  $\alpha^r(L_0) \in L_1, \dots, \alpha^{r-(n-1)}(L_{n-1}) \in L_0$

mit  $\alpha^r = \begin{pmatrix} 0 & 1 & & \\ & 0 & 1 & \\ & & \ddots & \ddots \\ & & & 0 & 1 \\ p & & & & 0 \end{pmatrix}$

(†) Alternativ, unnötig kompliziert:

$L_0, \dots, L_{n-1} \in R[t]/tR[t]$   $R[t]$ -U-Mod.,  
s.d.  $L_0, \dots, L_{n-1}$  l.k. dir. Summanden  
von Korang  $r$  in  $R[t]/tR[t]$  als  
 $R$ -Mod.

mit  $\alpha(L_0) \in L_1, \dots, \alpha(L_{n-1}) \in L_0$

$$\alpha = \begin{pmatrix} 0 & 1 & & \\ & 0 & 1 & \\ & & \ddots & \ddots \\ & & & 0 & 1 \\ ttp & & & & 0 \end{pmatrix}$$

Zur Pappas-Zhu:

$M_{loc}$  sollte gen. Faser  $G(P_\mu)$  haben

Haben Einbettung  $G(P_\mu) \hookrightarrow G_G, g \mapsto g \cdot [P_\mu]$

wobei

$$G_G = LG/L^+G,$$

$$LG(R) = G(R[[t]])$$

$$L^+G(R) = G(R[[t]])$$

$[\mu] = \text{Bild von } \mu \text{ in } LG(\mathbb{Q}_p)$

$M^{\text{loc}} \otimes_{\mathbb{Q}_p} \mathbb{Z}_p$  selbe in Flg liegen,  
 $\mathbb{Z}_p \text{ Flg} = LG/L^+G \text{ über } \mathbb{F}_p$

Wollen also  $G_{g, \mathbb{Z}_p}$  über  $\mathbb{Z}_p$  mit

$$G_{g, \mathbb{Z}_p} \otimes_{\mathbb{Z}_p} \mathbb{Q}_p = G_G,$$

$$G_{g, \mathbb{Z}_p} \otimes_{\mathbb{Z}_p} \mathbb{F}_p = \text{Flg}$$

Dann  $M^{\text{loc}} := \text{Abschluss der}$   
 $[L^+G_{\mathbb{Q}_p} \text{-Bahn von } [\mu]]$   
in  $(G_{g, \mathbb{Z}_p})_{\mathbb{Q}_p}$

PZ konstruieren gewisses affines globales  
Gruppenschema  $\mathcal{G} \rightarrow \mathbb{A}_{\mathbb{Z}_p}^1$  mit

$$\mathcal{G} \otimes_{\mathbb{Z}_p} \mathbb{Q}_p = G$$

$\leadsto$  globalisierte affine Grassmannsche

$$G_{g, \mathbb{A}_{\mathbb{Z}_p}^1}(X) = \left\{ (E, \beta) \mid \begin{array}{l} E \text{ } G\text{-Torsor auf } \mathbb{A}_{\mathbb{Z}_p}^1(X) \\ \beta \text{ Tw. von } E|_{\mathbb{A}_{\mathbb{Z}_p}^1} \end{array} \right\}$$

11/11/20

$$\mathcal{J} = \text{Graph}(X \rightarrow \mathbb{A}_{\mathbb{Z}_p}^1)$$

$$\leadsto \mathcal{G}_{\mathbb{Z}_p} := \mathcal{G}_{\mathbb{Z}_p, \mathbb{A}_{\mathbb{Z}_p}^1} \otimes_{\mathbb{A}_{\mathbb{Z}_p}^1} \text{Spec } \mathbb{Z}_p$$

GLn:  $\mathcal{G} = \text{GL}(\mathcal{L}_\bullet)$ ,  $\mathcal{L}_\bullet$  Gitterkette

$\mathcal{G}_i = \text{GL}(W_\bullet)$ ,  $W_\bullet$  die Urbilder von  $\mathcal{L}_\bullet$  im Setting (7)

$\text{GL}(W_\bullet)$ -Torsor  $\leadsto \text{GL}(W_i)$ -Torsore  $\mathcal{G}_i$

Auf diese Weise:  $\mathbb{P}^1$ -lok. Mod.  $\rightarrow$  klass. lok. Mod.

Kisin-Pappas: Einsatz der  $\mathbb{P}^1$ -lok Modelle,  
wenn  $(G, X)$  vom abelschen  
Typ (---)